

스플라인 샤프트 공차해석

Tolerance Analysis of Spline Shaft Assembly

이장용^{1,✉}

Jang Yong Lee^{1,✉}

1 한국생산기술연구원 (Korea Institute of Industrial Technology)

✉ Corresponding author: jangyongL@gmail.com, Tel: 041-589-8417

Manuscript received: 2010.7.5 / Accepted: 2010.9.13

Every mechanical part for mass production has dimensions with tolerances in engineering drawing. Tolerance is given to guarantee assemble parts together satisfying functional requirements and dimensional constraints. Tolerance is essential factor for standardization of parts or assembly and has huge influence on manufacturing cost. It will be desirable to have tolerances as broad as possible for minimizing manufacturing cost. This paper describes tolerance analysis of u-joint assembly that is a part of automobile steering system. Within the range of tolerances of parts, accumulated effect is estimated by arithmetic calculation, probability theory and Monte carlo simulation. Each result is compared to investigate the method for increasing productivity.

Key Words: Tolerance Analysis (공차해석), Clearance (백래쉬), RSS (Root Sum of Squares; 근의제곱합), Monte Carlo Method, Spline Shaft (스플라인 축), GD&T (기하공차)

1. 서론

모든 제품은 생산 과정에서 치수(dimension)가 서로 완벽히 일치하지 않고 어느 정해진 범위 안에 있게 된다. 치수의 허용된 변동구간인 공차는 부품의 표준화와 조립의 용이성 그리고 생산성 향상에 큰 영향을 미친다. 특히 대량 생산공정에서 공차에 대한 중요성이 크게 부각되었는데 어떤 부품의 무작위적 교체가 가능 하려면 공차를 통한 부품 표준화가 선행되어야 한다. 많은 부품이 조립되는 제품의 경우 각 부품의 공차가 누적되어 발생하는 상황을 미리 계산하여 부품들의 공차에 반영하는 것이 필요하다.^{1,2}

공차해석이란 두 개 이상 부품들이 결합할 때 공차의 누적으로 발생하는 치수 및 조립상태와 작동의 변화를 예측하는 방법론을 의미하는데 공차

의 민감도 해석과 같이 부품들의 공차가 조립품의 성능과 형태에 미치는 경향을 파악하는 것도 포함한다. 공차해석 방법론은 크게 두 가지로 나눌 수 있는데 첫 번째는 산술적인 분석법이다. 이 방법은 어떤 조립체의 누적된 공차 값을 계산할 때 해당 부품들 공차의 산술적 극한값이 누적된 값을 계산한다. Worst case 공차분석법이라고도 불리는 이 방법의 단점은 공차의 극한값으로 설정한 상황이 현실에서 발생할 확률적 고려를 하지 않기 때문에 이 방법의 해석결과에 기반하여 공차를 설정할 경우 실제 필요한 것보다 지나치게 공차가 작게 설정되어 해당제품의 생산비 만을 높이는 결과를 가져 온다는 것이다.

다른 하나는 통계적인 공차해석 방법이다. 여러 부품의 치수가 각각의 공차범위 안에서 무작위적으로 변화할 때 그것의 결과로서 전체 어셈블리

의 누적공차가 발생하게 된다. 그래서 이러한 무작위적 변화를 통계적 방법으로 처리하여 공차를 부여하는 방법인데 산술적 분석법에 비해 계산된 누적공차의 크기가 작게 되며 이것은 각 부품의 공차구간이 산술적 방법에 비해 보다 여유있게 될 수 있음을 의미한다. Fig. 1에 전술한 공차해석 방법론과 이를 수행하는 프로그램을 분류하여 도시하였다.

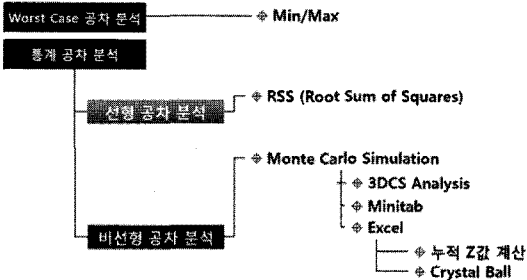


Fig. 1 Methods of tolerance analysis

본 논문에서는 회전력을 전달하는 기계부품으로 많이 사용되는 스플라인 축과튜브 사이의 백래쉬(backlash)에 대하여 산술적 분석법, Root sum of squares(RSS) 방법, Monte carlo simulation에 의한 공차해석을 수행하고 그 결과를 비교, 분석해 보고자 한다.

2. 스플라인 축과 튜브의 접촉

스플라인 축과 튜브의 공차해석은 두 부품 사이의 간격을 산술적 극한값과 확률적으로 계산한 값에 근거하여 각각 부여한 후, 두 부품 사이의 상대적인 회전각을 구하는 순서로 진행된다. 따라서 두 부품의 접촉 및 상호운동과 관련한 기하학적 분석은 공차해석의 방법과 상관없이 활용된다. 본 장에서는 두 부품의 기하학적 해석을 먼저 기술한 후, 2.3 절에서 산술적 극한값에 근거한 공차해석을 수행하였다.

2.1 스플라인 축과 튜브의 결합

스플라인 축과 튜브가 결합된 상태에서의 단면을 Fig. 2에 도시하였다. 분석대상이 된 부품은 모두 16개의 치형으로 구성되었으며 스플라인 축의 상부 치형에 각각 번호를 매기었다. 결합된 스플라인 축과 튜브치형의 확대된 모습을 Fig. 3에 나타내었고 그 치수 값을 Table 1에 수록하였다. 그

림에서 r_s 는 스플라인 축의 중심에서 치형 끝까지의 반경을 나타내고 l_1, l_2 는 각각 스플라인 축과 튜브치면을 나타내는 직선이다. Table 1에 나타낸 스플라인 축과 튜브의 치수와 공차에 의하여 두 부품 사이의 백래쉬가 결정된다. 미끄럼이 가능한 두 부품의 백래쉬에서 운전 중에 소음이 발생 가능성이 높으며 장기적인 사용에 따른 마모로 틈새가 커지게 되면 핸들이 과다하게 흔들리는 문제가 발생한다. 이 회전량의 크기는 운전자가 매우 예민하게 감지하는 부분으로서 이를 최소화 하지 않으면 제품의 품질에 부정적인 영향을 끼친다.

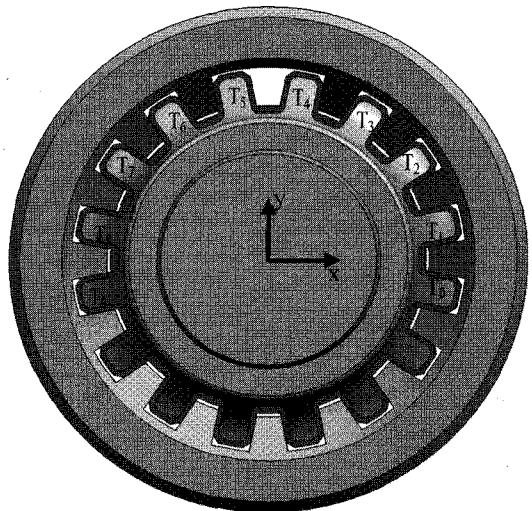


Fig. 2 Section of spline shaft and tube³

Table 1 Dimension of tooth width of spline shaft and tube, and diameter of spline shaft³

	Spline shaft (W_1) (mm)	Tube (W_2) (mm)	Diameter of spline shaft ($2r_s$) (mm)
Dimension and Tolerance	2.728 ± 0.012	2.765 ± 0.016	27.77 ± 0.05
GD&T			0.1 A B

생산현장에서 수행되는 스플라인 축과 튜브 어셈블리의 품질관리는 두 부품의 회전량에 상응하는 값을 측정하여 수행되며 이를 유연성 시험이라고 한다. Fig. 4에 나타낸 유연성 시험장치에서 측정하고자 하는 스플라인 축이 고정되고 시험용 튜

브 및 그와 연결된 기구를 삽입한 후 그 오른쪽 면에 추를 달아 다이얼게이지의 영점을 잡는다. 그리고 그림에 보이는 것처럼 다시 왼쪽에 추를 달아 다이얼게이지가 위치한 지점(스플라인 축 중심에서 수평방향 오른쪽으로 25.4mm)에서 수직방향 거리의 변화량을 다이얼게이지로 측정한다.

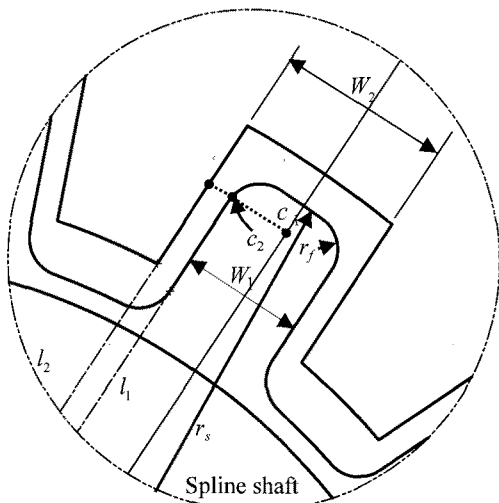
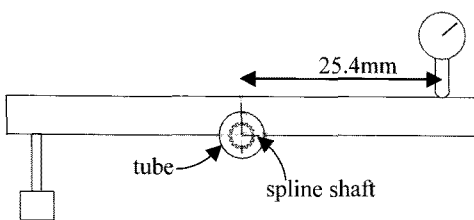
Fig. 3 Dimension of spline shaft and tube^{3,4}

Fig. 4 Apparatus for compliance test

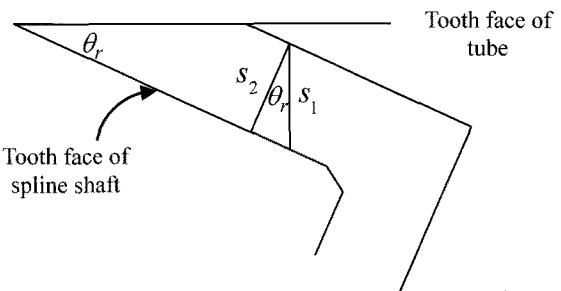
2.2 기하학적 분석

유연성 시험은 스플라인 축과 튜브 각각의 공차를 반영한 상대적인 회전량으로 발생한 변위를 측정하며 이것이 스플라인 축 어셈블리 품질관리의 기준이 된다. 따라서 유연성 시험의 기하학적 형상에 근거한 이론적 계산법을 정립하는 것이 필요하다. 유연성 시험에서는 스플라인 축이 고정되므로 본 절에서는 튜브의 자중에 의한 낙하거리를 먼저 구한 뒤, 추를 매달아 튜브가 시계방향으로 회전할 때 튜브와 스플라인 축의 접촉점을 구하는 수식을 유도하려고 한다. 스플라인 축과 튜브가

결합되면 튜브가 자중에 의해 낙하하여 스플라인 축과 접촉하게 되는데 이때의 형상을 Fig. 5에 나타내었다. 축 중심이 일치한 상태에서 두 부품 치면이 Fig. 2의 x 축에 대해 기울어진 각도를 θ_r , 그리고 두 부품의 백래쉬의 절반에 해당하는 거리를 s_2 라고 할 때, 튜브가 낙하하는 거리 s_1 은 다음 식으로 나타낼 수 있다.

$$s_1 = s_2 / \cos \theta_r \quad (1)$$

식(1)에서 s_1 은 Fig. 2의 치형조합에서 모두 얻을 수 있으나 접촉이 먼저 일어나는 치형에서 낙하가 멈출 것이므로 θ_r 이 11.25° 인 치형 T_0, T_1, T_8, T_9 에서 스플라인 축과 튜브의 접촉이 일어날 것이다. 스플라인 축과 튜브가 조립된 상태에서 서로 상대적인 회전운동이 이루어지는 메커니즘을 분석하기 위해 튜브가 낙하하여 접촉이 이루어진 상태를 Fig. 6에 나타내었다.

Fig. 5 Geometry between spline shaft and tube³

결합상태가 Y 축 방향을 기준으로 서로 대칭이므로 튜브는 시계방향과 반시계방향으로 각각 같은 각도만큼 회전할 것이다. 튜브가 시계방향으로 회전한다고 가정할 때, 튜브는 접촉이 일어난 4 개의 치형(T_0, T_1, T_8, T_9) 중에서 오른쪽으로 가장 먼 곳에 위치한 점 P_c 를 중심으로 회전할 것이다. 접촉지점을 확대한 Fig. 7을 참고하여 점 P_c 를 구하는 과정을 정리하면 다음과 같다.

점 P_c 가 있는 치형의 중심선의 각도를 θ_r 로 규정하고(스플라인 축의 축 중심에 있는 좌표축을 기준) 여기에서 챔퍼(chamfer)가 시작되는 위치까지의 각도와 챔퍼의 길이를 각각 θ_x, s_3 라고 할 때 θ_r 과 θ_x 는 다음 식과 같이 표현된다.

$$\theta_r = 0.5\alpha + (n-1)\alpha \quad (\alpha = 2\pi / n, n=16) \quad (2)$$

$$\theta_x = \sin^{-1} \frac{s_1}{r_s} \quad (3)$$

접촉점 P_c 가 위치한 경사면의 각도를 θ_a 라 하고 침폐의 경사면 길이를 s_4 라고 정의할 때(Fig. 7 참조) 이 두 값은 각각 다음 식과 같이 표현된다.

$$\theta_a = \theta_r + 3\pi/4 \quad (4)$$

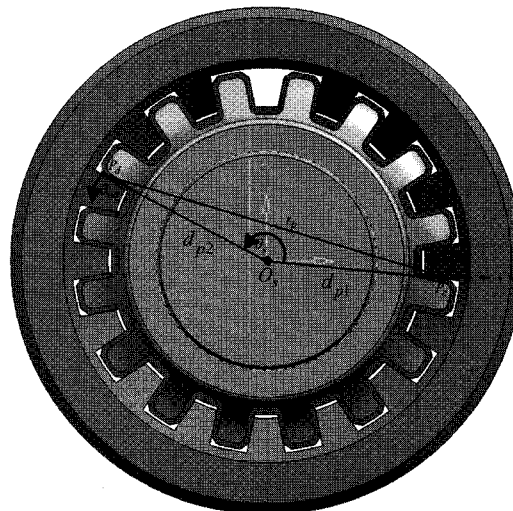


Fig. 6 Rotation of tube with pivot P_c ³

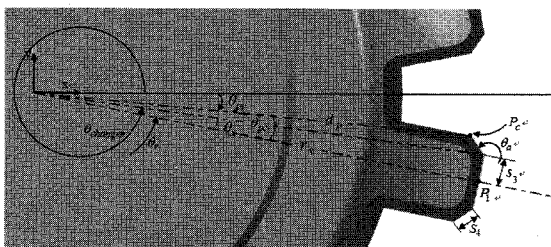


Fig. 7 Contact point of tube in Tooth T_0 ³

$$s_4 = r_c / \sin[\pi/4] \quad (5)$$

스플라인 축 면의 반경을 r_s 로 표현하고 θ_r 과 θ_x 를 더한 값을 $\theta_{chamfer}$ 라고 할 때, 지금까지 유도한 식을 이용하여 점 P_c 의 x, y 좌표 값은 다음 식과 같다.

$$P_{cx} = r_s \cos[\theta_{chamfer}] + s_4 \cos[\theta_a] \quad (6)$$

$$P_{cy} = r_s \sin[\theta_{chamfer}] + s_4 \sin[\theta_a]$$

원점에서 점 P_c 까지 거리 d_p 와 두 점을 연결한 직선의 각도 θ_{pr} 과 치형 중심선에서 P_c 까지의 각도 θ_{pc} 를 식(6)에서 유도할 수 있다.

2.3 최대/최소 공차

튜브가 시계방향으로 회전하여 스플라인 축과 접촉하는 운동은 반대로 스플라인 축이 같은 회전 중심에서 반시계 방향으로 회전하여 튜브와 접촉하는 것과 같다. 그런데 후자의 경우가 회전각을 계산하기가 수월하다. 본 절에서는 이 경우의 기하학적 형상에 기반하여 유연성 시험에서 튜브와 스플라인 축의 회전각 계산을 위한 일반식을 유도 하려고 한다. 이를 위하여 먼저 점 P_c 를 중심으로 스플라인 축이 회전하는 경우에 튜브와 접촉하는 임의의 점 P_d 의 수식을 유도한다. 그리고 이에 대응하는 튜브치면의 수식으로 부터 튜브와 스플라인 축이 접촉할 때의 스플라인 축의 회전각을 구한다. Fig. 6 에 스플라인 축의 점 P_c 에서 임의의 접촉점 P_d 까지의 거리와 각도 r_p, θ_s 를 나타내었다. 점 P_c 에서 n 번째 접촉점 P_d 까지의 각도 $\theta_{s[n]}$ 은 다음 식으로 표현된다.

$$\theta_{s[n]} = \theta_r[n] + \theta_{pc} - \theta_{pr} \quad \{n=1,2,\dots,15\} \quad (7)$$

식(7)의 $\theta_{r[n]}$ 은 Fig. 2 의 좌표축 및 치형번호를 기준으로 스플라인 축의 n 번째 치형의 중심선 각도를 의미하며 θ_{pc}, θ_{pr} 은 Fig. 7 에 나타내었다. Fig. 6 의 점 P_c 에서 n 번째 접촉점까지의 거리 $r_p[n]$ 은 cosine 제 2 법칙에 의하여 아래 식으로 표현된다.

$$r_p[n] = \sqrt{2d_{p1}d_{p2}(1-\cos[\theta_{s[n]}])} \quad , \{n=1,2,\dots,15\} \quad (8)$$

스플라인 축 중심(Fig. 6 의 점 O_s)을 기준으로 n 번째 접촉점 $P_d[n](P_{dx[n]}, P_{dy[n]})$ 의 좌표는 다음 식과 같다.

$$P_{dx[n]} = d_{p2} \cos[\theta_r[n] + \theta_{pc}] \quad \{n=1,2,\dots,15\} \quad (9)$$

$$P_{dy[n]} = d_{p2} \sin[\theta_r[n] + \theta_{pc}] \quad \{n=1,2,\dots,15\}$$

점 P_c 에서 임의의 치형의 접촉점 P_d 사이의 각도 $\theta_{cd[n]}$ 는 다음 식과 같다.

$$\theta_{cd[n]} = \tan^{-1} \left(\frac{P_{dy[n]} - P_{cy}}{P_{dx[n]} - P_{cx}} \right) + \pi, \quad \{n=1, 2, \dots, 15\} \quad (10)$$

스플라인 축이 점 P_c 를 중심으로 반시계 방향으로 회전하여 튜브와 접촉하는 점은 하나만 존재할 것이다. 그러나 어떤 치형에서 접촉이 이루어 지는지 미리 알 수 없으므로 15 개의 모든 치형들이 튜브와 접촉되는 각도를 계산하고 이 중에서 가장 작은 각도를 회전각으로 택한다. n 번째 치형의 접촉점(점 $P_{d[n]}$)이 튜브와 접촉할 때의 회전 각을 $\theta_{da[n]}$ 라 할 때, 점 P_c 를 기준으로 삼아 $P_{d[n]}$ 의 좌표 값은 다음 식으로 표현된다.

$$\begin{aligned} p_{dx[n]} &= r_{p[n]} \cos[\theta_{cd[n]} + \theta_{da[n]}], \quad \{n=1, 2, \dots, 15\} \\ p_{dy[n]} &= r_{p[n]} \sin[\theta_{cd[n]} + \theta_{da[n]}], \quad \{n=1, 2, \dots, 15\} \end{aligned} \quad (11)$$

점 P_d 를 스플라인 축의 중심점 O_s 를 기준으로 표현하면 다음과 같이 된다.

$$\begin{aligned} p_{dx[n]} &= p_{dx[n]} + p_{cx}, \quad \{n=1, 2, \dots, 15\} \\ p_{dy[n]} &= p_{dy[n]} + p_{cy}, \quad \{n=1, 2, \dots, 15\} \end{aligned} \quad (12)$$

스플라인 축과 접촉하는 튜브치면을 수식으로 표현하기 위하여 스플라인 축과 접촉하는 n 번째 튜브치면의 기하학적 형태를 Fig. 8에 표시하였다. 그림에서 좌표축은 튜브의 축 중심에 있으며 거리 W_{t2} 는 튜브 치형의 중심에서 치면까지의 거리이고 점 $b_{[n]}$ 은 치면의 선이 y 좌표축과 만나는 좌표 값이다. 그림에서 $\sin \theta_{q[n]} = W_{t2} / b_{[n]}$ ($\theta_{q[n]} = \theta_{r[n]} + 0.5\pi$) 임을 알 수 있다. 스플라인 축의 중심인 점 O_s 를 기준으로 튜브치면을 나타내는 직선의 식 l_t 는 다음과 같이 표현된다.

$$l_t = \tan \theta_{r[n]} x + b_{[n]} - s_1 \quad (13)$$

식(13)의 마지막 항의 값 s_1 은 직선의 식을 점 O_s 를 기준으로 표현하기 위해 튜브가 자중에 의해 하강한 것을 고려한 값이다. 스플라인 축의 접촉점을 나타내는 식(12)의 $p_{dx[n]}, p_{dy[n]}$ 값을 튜브의 접촉면을 나타내는 식(13)의 x, y에 대입하면 다음 식과 같다.

$$p_{dy[n]} = \tan \theta_{r[n]} p_{dx[n]} + b_{[n]} - s_1 \quad \{n=1, \dots, 15\} \quad (14)$$

식(14)에서 스플라인 축이 튜브와 접촉하기 까지 반시계 방향으로 회전한 각도 $\theta_{da[n]}$ 을 15 개 치형에 대해 계산하여 그 중 가장 작은 값이 스플라인 축과 튜브 어셈블리 회전각의 절반이 된다.

스플라인 축과 튜브의 산술적 공차해석은 두 부품의 공차에 따른 백래쉬의 극한값과 이에 따른 상대적 회전량을 구한다. 두 부품 사이의 최대 백래쉬는 스플라인 축의 치폭이 최소값이고 튜브의 치폭이 최대인 경우 발생한다. 즉 두 부품의 LMC⁵ (Least Material Condition)에서 백래쉬는 최대가 된다. 이와 반대로 스플라인 축의 치폭이 최대값이고 튜브의 치폭이 최소인 경우에 - 부품의 MMC⁵ (Maximum Material Condition) - 백래쉬가 최소가 된다. 또한 스플라인 축의 직경이 최소인 경우에 회전각은 최대가 되고 직경이 최대인 경우는 그 반대가 된다. 그런데 스플라인 축의 직경은 치수공차 이외에 Table 1에 나타낸 것처럼 기하공차(GD&T)도 포함하고 있다.

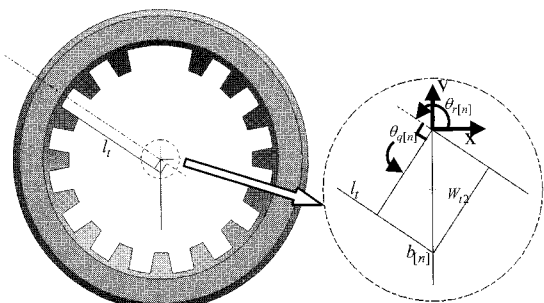


Fig. 8 Contact line of tube by spline shaft³

GD&T^{5,6} (Geometric dimensioning and Tolerancing, 기하공차)는 ASME Y14.5 규정에 근거해서 공차를 부여하는 방법으로서 Table 1의 total runout 기호()는 Fig. 9에 나타낸 것과 같이 부품을 회전시키고 다이얼게이지가 화살표 방향으로 이동하면서 직경을 측정할 때 검사부품 직경의 공차가 축방향의 모든 구간에서 0.1 mm 이내에 있어야 함을 의미한다. 이것은 스플라인 축의 단면 중심은 기준선(GD&T 기호에서 표시하는 A 즉, 스플라인 축과 튜브의 축 중심)에서 total runout 값의 절반인 0.05 mm 이내에 있어야 됨을 의미한다. 결과적으로 스플라인 축 직경의 허용된 최대공차는 치수공차(± 0.05)와 기하공차(± 0.05)를 합하여 ± 0.1 이 된다. 예를 들어 LMC는 Table 1에 나타낸 치수에서 스플라인 축의 치폭(W_1) 및 이 끝 지름의 치수($2r_s$)

가 각각 2.716mm, 27.67mm 이고 튜브치폭의 치수(W_2)가 2.78mm인 경우이다.

Fig. 3에 나타낸 스플라인 축과 튜브의 치수와 공차 값이 Table 1과 같이 주어지고 치형의 수 n 이 16이며 r_f 값이 0.5 mm 일 때, 전술한 계산방법에 의하여 산술적으로 계산한 두 부품 사이의 회전량과 접촉이 일어나는 스플라인 축의 치형번호, 튜브의 낙하거리와 유연성 시험결과를 Table 2에 나타내었다. 회전량은 일정 값 이하로 규정해야 하므로 표에서 기술된 worst case 란 두 부품 사이의 회전량($2\cdot\theta_{da[n]}$)이 가장 큰 경우를 의미한다.

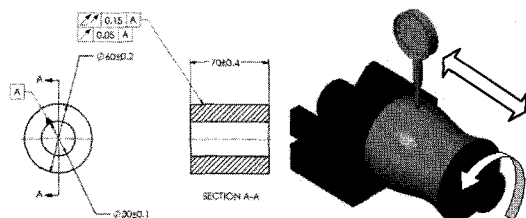


Fig. 9 Measurement of total runout¹

Table 2 Arithmetic tolerance analysis result

	Worst case
Clearance (T0 area)	0.057 mm
Rotation angle($2\theta_{da[n]}$)	0.25°
Compliance test result	1.06 mm
No. of contact tooth in spline shaft	T5
Falling distance of tube	0.029 mm

스플라인 축과 튜브 사이에는 16 개의 치형조합이 있으며 이를 치형 각각의 백래쉬는 두 부품의 공차범위에서 서로 다른 값을 가질 수 있다. 최대 회전은 접촉이 일어나는 치형의 백래쉬가 가장 클 때 발생하며 튜브가 자중에 의해 낙하하는 거리도(식(1) 참조) 회전량에 영향을 미친다. 스플라인 축과 튜브 사이의 회전각은 스플라인 축이 치형 T₀의 한 점을 중심으로 반시계 방향으로 회전할 때, 나머지 치형 중에서 가장 먼저 접촉하는 치형에 의해 결정된다. 만약 튜브의 낙하가 없다면 접촉점 P_d에서부터 회전 반경이 가장 큰 치형 T₈ 이(Fig. 2 참조) 가장 먼저 접촉하게 될 것이다. 그런데 튜브의 낙하가 발생한다면 치형의 중심선의 기울기가 완만할수록 스플라인 축이 반시계 방향으로 회전할 공간은 더욱 많이 확보되어 보다

많이 회전하게 될 것이다(Fig. 8의 직선 1_c가 -y 축 방향으로 이동하는 경우이다). 그렇게 되면 가장 먼저 접촉하는 치형은 스플라인 축이 회전할 공간이 넉넉한 T₈에서 T₇, T₆, T₅ 등으로 차례로 이동할 것이다. 이런 식으로 치형 T₀의 백래쉬를 점점 크게 하면서 최대의 회전각을 찾은 값이 Table 2에 수록되어 있다. 표에서 치형 T₀의 백래쉬는 0.057mm로 공차가 허락한 최대 백래쉬인 0.064mm보다 작은 값이고 치형 T₅에서 접촉이 일어남을 알 수 있다.

전술한 결과는 산술적으로 극한의 공차를 설정한 것 이외에 치형 T₀를 제외한 모든 치형의 조건이 LMC인 경우를 가정하고 있다. 그런데 이러한 상황(15 개의 치형이 모두 LMC인 조건)이 현실에서 발생할 확률은 매우 낮다. 따라서 이러한 산술적 극한값의 회전량을 계산하는 것 보다는 16 개의 치형에서 실제로 발생할 수 있는 백래쉬에 대한 확률적 근거에 기반한 계산이 보다 합리적일 것이다. 그것을 통해 산술적인 극한값 보다 여유 있는 공차를 얻을 수 있을 것이고 이를 통해 생산되는 제품의 품질을 만족시키면서 생산단가를 크게 낮출 수 있게 된다.

3. 통계 공차분석

3.1 Root Sum of Squares

정밀기계 가공에서 공차의 범위를 여유 있게 하는 것은 생산비 절감 효과를 얻게 해준다.⁵ 유연성 시험에서 스플라인 축이 점 P_c를 중심으로 회전할 때(Fig. 6 참조) 튜브와 접촉하게 되는 스플라인 축의 치형은 점 P_c가 있는 치형을 제외한 나머지 15 개 치형중에 있게 된다. 어떤 치형이 튜브와 접촉하게 되는지는 튜브 및 스플라인 축사이의 백래쉬와 점 P_c에서 접촉하는 지점까지의 거리 그리고 튜브의 낙하거리가 각 치형의 백래쉬에 미치는 영향에 달려있다.

RSS(Root Sum of Square)방법에 의한 공차해석은 공차를 적용하여 계산한 치수가 정규분포를 이룬다고 할 때, 치수의 평균값(기준치수, μ)에 공차 표준편차(σ)의 세 배인 값을 더하고 뺀($=\mu \pm 3\sigma$) 범위 안에 계산 값의 99.73% 가 속한다는 확률이론에 근거하고 있다.⁵ Table 1에 나타낸 치수에 근거해서 스플라인 축과 튜브 백래쉬의 극한값을 RSS 방법으로 구하는 과정을 Table 3에 수록하였다. 백래쉬 계산을 위해서 스플라인 축 직경을 음수로

나타내어 투브의 직경에 서로 더하였다. 공차를 적용한 두 부품의 최대, 최소 값의 평균(mean)과 표준편차(standard deviation)를 각각 구하고 두 부품의 표준편차 값에 대한 RSS 값을 계산하였다. 그리고 이 값을 두 부품 평균값(스플라인 축의 치수는 음수)의 합에 더한 값과 뺀 값이 백래쉬의 최대, 최소 값이다. 계산된 백래쉬의 극한값은 각각 0.056 mm 와 0.018 mm 로 산술적 극한값인 0.064 mm 와 0.01mm 보다 그 변동폭이 작다.

Table 3 Clearance calculation by RSS of σ

Nominal dimension (mm)	tolerances	Min/Max	Mean (μ)	Standard deviation (σ)
2.765 (tube)	0.015	2.78	2.765	0.005
	-0.015	2.75		
-2.728 (spline shaft)	0.012	-2.716	-2.728	0.004
	-0.012	-2.74		
Mean Clearance(μ_c)			0.0370	
RSS of σ (σ_{RSS})			0.0064	
Min. clearance ($\mu_c - 3\sigma_{RSS}$)			0.0178	
Max. clearance ($\mu_c + 3\sigma_{RSS}$)			0.0562	

RSS 방법으로 구한 백래쉬의 극한값을 사용하여 0 절에 기술한 방법에 따라 유연성 시험결과 및 최대 회전각을 구하고 이를 산술적 극한값(Table 2 참조)과 비교하여 Table 4에 나타내었다. RSS 방법의 경우 유연성 시험결과 값이 약 12% 감소하였는데 이 결과에 대해 확률적인 측면에서 고려할 사항이 있다. Table 4에 수록된 결과는 치형 T_0 를 제외한 모든 치형의 백래쉬가 RSS 방법에 의한 최대값(0.0562mm)을 가정하여 구하였다. 만약 T_5 이외의 다른 치형의 백래쉬가 공차범위 내에서 T_5 보다 더 작게 된다면 투브와 접촉은 치형 T_5 에서 발생하지 않을 수 도 있다.

본 논문에서 스플라인 축과 투브 어셈블리의 경우에 Table 3의 결과를 얻기 위해 가정한 조건이 현실에서 발생할 가능성은 그리 높지 않다. RSS 방법에 의한 회전각 계산이 산술적 계산에 비해 공차를 여유 있게 설정할 수 있기는 하지만 실제 발생할 확률이 매우 작은 가정에 근거하여 추산되었기 때문에 이것에 따라 공차를 설정할 경우 불필요하게 과도한 정밀도가 요구된다. 따라서 본 논문에서는 확률적 공차해석의 또 다른 방법인

Monte carlo simulation 을 활용하여 백래쉬에 의한 회전량을 계산해 보고자 한다.

Table 4 RSS tolerance analysis result

	Result	Ratio to Table 2
Clearance (T_0 area)	0.052mm	91.2%
Rotation angle($2\theta_{da[n]}$)	0.22°	88.0%
Compliance test result	0.93mm	87.7%
No. of contact tooth in spline shaft	T_5	-
Falling distance of tube	0.026 mm	89.7%

3.2 Monte carlo simulation

Monte carlo method 는 무작위의 숫자를 사용하는 비결정적 방법으로서 공차범위에서 치수를 무작위로 발생시켜 누적공차에 대한 시뮬레이션에 많이 활용되며 일반적으로 1 만회 이상의 무작위 수를 시뮬레이션을 해야 99%의 정확도로서 결과에 신빙성이 있다고 알려져 있다.⁵ Fig. 6 의 점 P_c 를 중심으로 스플라인 축이 반시계방향으로 회전 할 때, 투브와 접촉은 Fig. 2에 나타낸 치형 T_1 에서 T_8 사이에서 발생하게 됨을 0 절의 결과에서 알 수 있다. 따라서 부품 사이의 백래쉬는 모두 8 개의 치형에 대해 고려하면 된다. 치형 T_1 에서의 백래쉬를 S_{T1} 으로 표현할 때, 8 개 치형의 평균 백래쉬는 다음 식으로 나타낼 수 있다.

$$\frac{\sum_{n=1}^8 S_{Tn}}{M} \quad (M = 8) \quad (15)$$

상업용 공차해석 프로그램인 MITCalcTol Analysis에서 Monte carlo simulation을 수행하여 식 (15)에 나타낸 평균 백래쉬의 확률적 값을 계산한 결과를 Fig. 10에 나타내었다.

1 만 번 수행한 시뮬레이션에서 백래쉬의 평균 값은 0.037 로서 산술적 평균값과 같았고 표준편차 값은 0.00227 로 RSS 방법의 표준편차 값(0.0064) 보다 작다. 따라서 백래쉬의 최대값과 최소값은 각각 0.045 mm 와 0.028 mm 가 되어 산술적 계산과 RSS 방법에 비해 분포의 폭이 좁아졌으며 최대값도 작아졌다. (Fig. 10에서 화살표는 산술적 최대, 최소값의 범위를 나타냄) Fig. 8의 거리 d_{t2} 는 백래쉬의 절반에 해당하는 값으로서 최대 백래쉬가 커질수록 회전량도 늘어나게 된다.

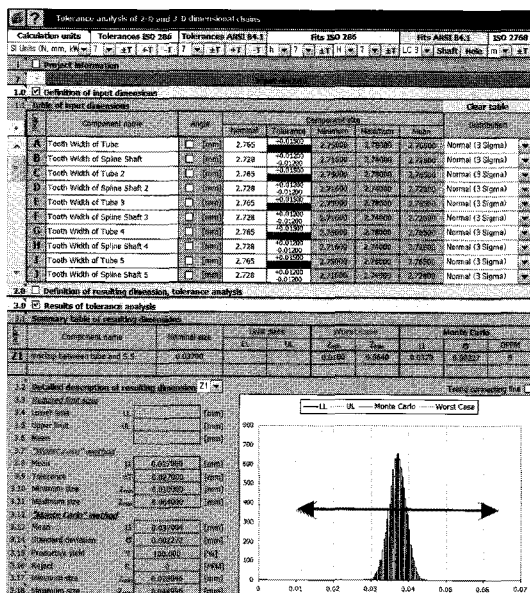


Fig. 10 Monte carlo simulation of clearance

튜브가 낙하하는 거리는 모든 치형의 백래쉬에 영향을 주어 회전량과 관련이 깊다. 유연성 시험을 수행할 때 스플라인 축의 어떤 치형이 T_0 의 위치에 놓일지를 알 수 없으나 백래쉬의 폭은 Monte carlo simulation으로 구한 0.014 mm ~ 0.057 mm 사이의 값일 것이다. 따라서 식(13)에서 스플라인 축과 접촉하는 튜브치폭은 Monte carlo simulation에서 얻은 값(Fig. 10 의 0.045mm)을 사용하고 식(13)에서 낙하거리를 구할 때 백래쉬의 값을 0.014 mm ~ 0.057 mm 사이의 값을 차례로 대입하여 그 중 최대 회전량을 구하였다. 결과로서 구한 값을 Table 5에 수록하였다. 산술적 극한값에 대한 비율이 네 개의 값에서 모두 비슷한 감소를 보이는데 이는 RSS 방법에 의한 결과와 같다(Table 4 참조). 그러나 RSS 방법이 산술적 극한값에 비해 약 12% 내외의 감소를 보이는데 비해 Monte carlo simulation은 이보다 훨씬 큰 30% 가까운 감소가 있다.

Table 5 Monte carlo simulation result

	result	Ratio to Table 2
Clearance (T0 area)	0.041 mm	71.9%
Rotation angle($2\theta_{da[n]}$)	0.18°	72.0%
Compliance test result	0.74 mm	69.8%
No. of contact tooth in spline shaft	T_5	-
Falling distance of tube	0.021 mm	72.4%

4. 결론

스플라인 축과 튜브 사이의 백래쉬는 공차를 포함한 변이구간이 매우 작기 때문에 이를 엄밀히 해석하는 것은 쉽지 않다. 특히 백래쉬에 의한 두 부품의 회전각 계산에서는 여러 개의 치형 조합을 통한 운동전달 때문에 확률적인 접근이 필요하다. 같은 치수와 공차가 부여된 스플라인 축 어셈블리의 백래쉬는 산술적 극한값, RSS 방법 및 Monte carlo simulation의 순서로 작아진다(Table 2, Table 4, Table 5 참조). 만약 산술적 계산에 근거해서 RSS 방법과 Monte carlo simulation에서 얻은 것과 같은 유연성 시험결과를 얻기 위해서는 스플라인 축과 튜브의 공차가 Table 6에 나타낸 값과 같이 작아져야 한다. 즉 RSS 방법의 경우에는 Table 1에 지정한 초기 공차에서 28%가 감소해야 하고 Monte carlo simulation의 경우에는 60%가 감소해야 한다. 공차범위가 1/1000 mm 이하가 되는 이러한 값을 만족시키면서 생산성 있는 제품가공은 현실적으로 어렵다.

공차 부여는 부품 치수의 한계를 최대한 여유있게 함으로서 보다 경제적인 생산을 할 수 있게 되어야 한다. 이를 위해서는 치수변화의 확률적 고려와 백래쉬 발생 상황에 대한 시뮬레이션을 통한 공차부여가 보다 유리한 방법이다. 이론적으로 RSS 방법과 Monte carlo simulation(수행횟수 1 만회 기준)에 의해 계산된 공차의 정확도가 각각 99.73% 와 99%이고 본 논문에서 제시한 것처럼 후자의 경우 보다 여유있는 공차 값을 얻을 수 있다. 따라서 Monte carlo simulation이 공차해석을 하기 위한 가장 현실적인 방법이라고 할 수 있다.

Table 6 Worst case tolerance for matching RSS and Monte carlo simulation

	RSS	Monte carlo simulation
Compliance test result	0.93 mm	0.74 mm
Tolerance of shaft	± 0.0086 mm	± 0.0036 mm
Tolerance of tube	± 0.0108 mm	± 0.0045 mm
Ratio	-28 %	-60 %

그러나 이 경우에도 산술적 공차해석을 통하여 주어진 공차 범위내의 최대/최소값을 계산해서 기준값으로 활용할 필요가 있다. 그리고 생산되는 제품에 부여되는 제작오차의 범위에 따라 Monte

carlo simulation 의 수행 횟수를 정해야 하는데(예를 들면 1 만분의 1 의 제작오차라면 1 만회의 시뮬레이션 수행) 이 결과를 RSS 방법에 의한 결과와 비교하여 시뮬레이션의 신뢰도를 검증해야 한다. 최종적으로 시뮬레이션 결과를 실제 생산품의 표본검사과 비교하여 결과의 신뢰성을 확인한 후에 그것을 제품 설계 및 생산에 이용하여야 한다.

후 기

이 논문은 지식경제부에서 시행한 부품·소재전문기업기술지원사업의 기술지원 결과임.

참고문현

1. Lee, G. and Park, S., "Development of a tolerance design program considering assembly variation," Research Project Report for Korea Institute of Industrial Technology, 2004.
2. Kim, B. and Yoo, H., "Analytical Method to Analyze the Tolerance Effect on the Vehicle Ride Comfort," Trans. of KSME(A), Vol. 32, No. 7, pp. 549-555, 2008.
3. Lee, J. and Park, H., "16 tooth type precise U-joint assembly development," Research Project Report for Ministry of Knowledge and Economy, 2010.
4. Lee, J. and Park, H., "Clearance determination of universal joint assembly," Proceedings of the KSPE Spring Conference, pp. 859-860, 2010.
5. Krulikowski, A., "Fundamentals of geometric dimensioning and tolerancing, 2nd Ed.," Delmar, 2007.
6. Cogorno, G. R., "Geometric Dimensioning and Tolerancing for Mechanical Design," McGraw-Hill, 2006.
7. <http://www.tec-ease.com/gdt-tips.htm>